

## พฤติกรรมการให้เลของน้ำสับปะรดผสมไข้อาหารผงจากกากมะนาว

ปรอยฟน เลิศวนวัฒนา<sup>1</sup> นภาร เซี่ยวชาญ<sup>2</sup>

มหาวิทยาลัยเทคโนโลยีพระจอมเกล้าธนบุรี บางมด ทุ่งครุ กรุงเทพฯ 10140

และ ภาวดี เมะชนะท์<sup>3</sup>

ศูนย์เทคโนโลยีโลหะและวัสดุแห่งชาติ ต. คลองหนึ่ง อ. คลองหลวง จ. ปทุมธานี 12120

รับเมื่อ 25 กรกฎาคม 2550 ตอบรับเมื่อ 5 มิถุนายน 2551

### บทคัดย่อ

งานวิจัยนี้มีวัตถุประสงค์เพื่อศึกษาการใช้อาหารผงที่ผลิตจากการกากมะนาวหลังการคั้นน้ำมาใช้เป็นแหล่งของไข้อาหารในเครื่องดื่มเพื่อสุขภาพ โดยทดลองเติมในน้ำสับปะรด และศึกษาผลของขนาดอนุภาค (38-63 63-125 125-180 และ 180-250 ไมครอน) และ ความเข้มข้น (ร้อยละ 1-5) ของไข้อาหารผงต่อลักษณะทางกายภาพของน้ำสับปะรดหลัง การผลิต จากการวัดพฤติกรรมการให้เลของตัวอย่างที่อุณหภูมิ 30 °C พบร่วมกันว่า ทุกด้วยตัวอย่างแสดงพฤติกรรมการให้เลแบบ ชุดโดยพลาสติก ยกเว้นตัวอย่างน้ำสับปะรดผสมไข้อาหารผงความเข้มข้นร้อยละ 1 ที่มีขนาดอนุภาคในช่วง 38-63 ไมครอน ที่แสดงพฤติกรรมการให้เลแบบนิวโนตโนเนียน โดยเมื่อผสมไข้อาหารผงที่มีขนาดอนุภาคใหญ่ขึ้นและความเข้มข้นสูงขึ้น ตัวอย่าง น้ำสับปะรดผสมไข้อาหารมีความหนืดเพิ่มขึ้นอย่างมีนัยสำคัญ นอกจากนี้ยังพบว่าตัวอย่างน้ำสับปะรดผสมไข้อาหารผง หลังการเก็บที่อุณหภูมิ 4 °C เป็นเวลา 1 วัน มีค่าความหนืดเพิ่มขึ้นอย่างมาก และทุกตัวอย่างมีความเป็นชุดโดยพลาสติก เพิ่มขึ้น

**คำสำคัญ :** กากมะนาว / ขนาดอนุภาค / ความหนืด / พฤติกรรมการให้เล / ไข้อาหาร

<sup>1</sup> นักศึกษาปริญญาโท ภาควิชาวิศวกรรมอาหาร คณะวิศวกรรมศาสตร์

<sup>2</sup> รองศาสตราจารย์ ภาควิชาวิศวกรรมอาหาร คณะวิศวกรรมศาสตร์

<sup>3</sup> นักวิจัย

## Rheological Behavior of Pineapple Juice with Suspended Dietary Fiber Powder from Lime Residues

Proyphon Lertwanawatana<sup>1</sup>, Naphaporn Chiewchan<sup>2</sup>,

King Mongkut's University of Technology Thonburi, Toongkru, Bangkok 10140

and Pawadee Methacanon<sup>3</sup>

National Metal and Materials Technology Center, 114 Thailand Science Park,

Phaholyothin Road, Klong 1, Klong Luang, Pathumthani 12120

Received 25 July 2007 ; accepted 5 June 2008

### Abstract

Lime residue powder, a rich source of dietary fiber (DF) and antioxidants, was used to supplement pineapple juice in order to provide a new pleasant odor and increase the dietary fiber of the juice. The effects of particle size (38-63, 63-125, 125-180 and 180-250 m) and concentration (1-5% w/v) of the powder on the physical characteristics of the supplemented juice were determined. At 30°C, all samples exhibited a pseudoplastic behavior with the exception of the juice suspended with a 1% powder comprising particles of the smallest size range which behaved like a Newtonian fluid. An increase in viscosity was observed for juices with larger particle sizes and higher concentrations of powder. The viscosities of the samples increased significantly and all samples became more pseudoplastic after storage at 4°C for 1 day.

**Keywords :** Lime Residues / Particle Size / Viscosity / Rheological Behavior / Dietary Fiber

<sup>1</sup> Master Degree Student, Department of Food Engineering, Faculty of Engineering.

<sup>2</sup> Assistant Professor, Department of Food Engineering, Faculty of Engineering.

<sup>3</sup> Researcher.

## 1. บทนำ

ปัจจุบันผลิตภัณฑ์อาหารหลายชนิดที่มีการเสริมคุณค่าทางโภชนาการเป็นที่นิยมมากขึ้นในหมู่ผู้บริโภค รวมทั้งผลิตภัณฑ์ที่มีการเสริมไข้อาหาร [1] ไข้อาหารมีความสำคัญต่อระบบทางเดินอาหารหลายประการ เช่น ช่วยลดอาการท้องผูก เป็นอาหารของจุลินทรีย์ในระบบทางเดินอาหาร ช่วยลดความเสี่ยงการเกิดโรคมะเร็งลำไส้ใหญ่ อีกทั้งไข้อาหารยังช่วยลดระดับน้ำตาลและไขมันในเลือด จึงช่วยป้องกันการเกิดโรคเบาหวานและโรคหัวใจ [2]

จากการงานวิจัยพบว่า เศษเหลือทิ้งจากโรงงานแปรรูปผักและผลไม้ เป็นแหล่งของไข้อาหารที่ดี [3-6] โดยเฉพาะอย่างยิ่งเศษเหลือทิ้งของผลไม้ตระกูลส้ม (*Citrus fruit*) โดยเบล็อกและกาต์ที่เหลือหลังการคั้นน้ำจะมีสัดส่วนถึงร้อยละ 50 ของน้ำหนักผล [6] ดังนั้นจึงมีการศึกษาวิจัยการประยุกต์ใช้อาหารจากพืชตระกูลส้มในผลิตภัณฑ์อาหารต่างๆ เช่น ไส้กรอก [7] และ เด็กเพื่อเพิ่มปริมาณไข้อาหาร นอกจากนี้ยังช่วยเพิ่มลีฟเหลืองและกลิ่นส้มให้กับอาหาร [8] เป็นต้น นอกจากเศษเหลือทิ้งของผลไม้ตระกูลส้มจะประกอบด้วยไข้อาหารในปริมาณสูงแล้ว ยังจัดเป็นไข้อาหารที่มีคุณภาพดี เนื่องจากมีสัดส่วนของไข้อาหารที่ไม่ละลายน้ำต่อเลี้นไข้อาหารที่ละลายน้ำในปริมาณที่สมดุล [9] โดยทั่วไปสัดส่วนที่เหมาะสมของปริมาณไข้อาหารที่ไม่ละลายน้ำต่อไข้อาหารที่ละลายน้ำควรอยู่ในช่วง 1.0-2.3 เพื่อที่จะได้ประโยชน์จากไข้อาหารทั้งสองชนิด [10-11] Jongaroontaprangsee และคณะ [12] รายงานว่าไข้อาหารผงผลิตจากกากมะนาว (*Lime, Citrus aurantiifolia* Swingle) หลังการคั้นน้ำ ประกอบด้วยไข้อาหารทั้งหมดร้อยละ 62.94-64.30 (น้ำหนักแห้ง) โดยมีสัดส่วนของปริมาณไข้อาหารที่ไม่ละลายน้ำต่อไข้อาหารที่ละลายน้ำอยู่ในช่วง 1.1-1.2 นอกจากนี้ไข้อาหารดังกล่าวยังมีค่าการอุ้มน้ำ (Water holding capacity) และการบวมน้ำ (Swelling capacity) สูง ซึ่งเหมาะสมในการนำมาใช้กับอาหารเหลว เช่น เครื่องดื่มชนิดต่างๆ

นอกจากนี้ไข้อาหารของผลไม้ตระกูลส้มยังมีสารที่มีฤทธิ์ด้านอนุมูลอิสระหลายชนิดที่เป็นประโยชน์ต่อร่างกาย เช่น วิตามินซี และสารกลุ่มโพลีฟีโนล [13-15] Larrauri และคณะ [9] รายงานว่า กากมะนาวมีปริมาณสารโพลีฟีโนลสูงกว่าไข้อาหารจากส้มและยังมีสารฟลาโวนอยด์ที่

## มีฤทธิ์ด้านอนุมูลอิสระที่ดี

กระบวนการการเตรียมไข้อาหาร ทั้งการสกัด การอบแห้ง และการบด ต่างมีผลต่อสมบัติและลักษณะของไข้อาหาร [4, 6, 16-18] ด้วยอย่างเช่น การลดขนาดอนุภาคจากการบดแห้งทำให้โครงสร้างของไข้อาหารมีพื้นที่ผิวเพิ่มขึ้นรวมทั้งยังทำลายรูพรุนของโครงสร้าง จึงมีผลต่อสมบัติ Hydration การเพิ่มไข้อาหารในผลิตภัณฑ์จะช่วยปรับปรุงเนื้อสัมผัสและสมบัติทางกายภาพของอาหาร เช่น เพิ่มน้ำหนัก (Cooking yield) ให้กับผลิตภัณฑ์เนื้อสัตว์ [19] ช่วยเพิ่มความยืดหยุ่นให้กับวีทโด (Wheat dough) [20] นอกจากนี้ยังเพิ่มความคงตัวหรือความหนืดให้กับผลิตภัณฑ์อาหาร [21] โดยพบว่าขนาด (Particle size) ของไข้อาหารมีผลต่อความหนืดของน้ำผลไม้เข้มข้น [22-24] ทั้งนี้คุณภาพของผลิตภัณฑ์สุดท้ายของอาหารเหลวอย่างข้น กับขั้นตอนการผลิต โดยเฉพาะอย่างยิ่ง กระบวนการให้ความร้อน ซึ่งมีผลกระทบต่อสมบัติ Hydration ของไข้อาหารและสมบัติการไหล (Rheological property) [25]

การผลิตน้ำผลไม้สมhung ไข้อาหารเป็นแนวทางการพัฒนาผลิตภัณฑ์ที่น่าสนใจ ซึ่งจะทำให้ผลิตภัณฑ์เครื่องดื่มที่มีประโยชน์ต่อร่างกาย ทั้งยังเป็นการนำเศษเหลือทิ้งจากอุตสาหกรรมมาถูกต้องให้เกิดผลิตภัณฑ์ใหม่ที่มีมูลค่าเพิ่ม การนำไปใช้อาหารผงผลิตจากกากมะนาวหลังการคั้นน้ำเติมในน้ำสับปะรด จะช่วยเพิ่มปริมาณเลี้นไข้อาหารให้กับน้ำสับปะรด เนื่องจากน้ำสับปะรดเป็นผลไม้ที่ผลิตได้ตลอดทั้งปี และราคาไม่แพง ถึงแม้ว่าน้ำสับปะรดจะเป็นผลไม้มีกากสูง ก็ตาม แต่หากน้ำสับปะรดประกอบด้วยไข้อาหารปริมาณต่ำ มีไข้อาหารที่ละลายน้ำปริมาณน้อย [26] และมีฤทธิ์ด้านอนุมูลอิสระต่ำ เมื่อเปรียบเทียบกับผลไม้ชนิดอื่นๆ [26-27] การเติมผงไข้อาหารจากกากมะนาว นอกจากจะเป็นแหล่งไข้อาหารแล้ว ยังจะได้ประโยชน์จากการคั้นน้ำ ที่มีอยู่ในกากมะนาว ได้กลิ่นหอมของมะนาว นอกจากนี้เพคตินซึ่งมีอยู่มากในกากมะนาว จะช่วยให้ผลิตภัณฑ์มีความคงตัว ดังนั้นผลิตภัณฑ์ที่ได้อาจมีกลิ่นรสและลักษณะเนื้อสัมผัสที่แตกต่างไปจากน้ำผลไม้ทั่วไป จึงเป็นอีกทางเลือกหนึ่งของผู้บริโภค

งานวิจัยนี้จึงทำการศึกษาความเป็นไปได้ของการนำผงไข้อาหารสูงที่ผลิตจากกากมะนาวหลังการคั้นน้ำมาเติมในน้ำสับปะรด เพื่อพัฒนาเป็นผลิตภัณฑ์เครื่องดื่มเพื่อสุขภาพ

โดยศึกษาผลของขนาดของผงไอกาหารและความเข้มข้นต่อพฤติกรรมการให้เหลว ซึ่งจะนำไปสู่แนวทางการพัฒนาเป็นผลิตภัณฑ์เครื่องดื่มเพื่อสุขภาพแบบใหม่ ที่มีลักษณะปราศจากแอลกอฮอล์และเนื้อสัมผัสเป็นที่ต้องการของผู้บริโภค

## 2. วัสดุ อุปกรณ์ และวิธีการ

### 2.1 การเตรียมตัวอย่าง

ลังมะนาว (*Lime, Citrus aurantifolia* Swing) ให้สะอาด หั่นครึ่ง คั้นน้ำ และเอาเมล็ดออก จากนั้นลวกในน้ำร้อนที่อุณหภูมิ 95 °C เป็นเวลา 5 นาที เหี้ยงเอาน้ำส่วนเกินออก แล้วเช่ากากมะนาวในสารละลาย โซเดียมคลอไรด์ร้อยละ 3 โดยนำหักต่อปริมาตร นาน 30 นาที อัตราส่วนกากมะนาว 1 กก. ต่อสารละลายโซเดียมคลอไรด์ 5 ล. เพื่อลดความชื้น เหี้ยงเอาสารละลายที่มากเกินพอกออกอีกครั้ง จากนั้นนำกากมะนาวมาด้วยเครื่องบดสับ (Waring WCG75E ประเทศไทย) ที่ระดับความเร็วปานกลาง 2 นาที จากนั้นนำไปอบแห้งทันที

### 2.2 การเตรียมผงไอกาหารจากกากมะนาว

นำกากมะนาวบดที่เตรียมไว้ประมาณ 1,000 ก. เกลี่ยบนถาดสำหรับอบแห้ง แล้วนำไปอบในตู้อบลมร้อน (Termaks TS8000 ประเทศไทย) ที่อุณหภูมิ 60, 80 และ 100 °C วิเคราะห์ปริมาณความชื้นของตัวอย่างโดยอบตัวอย่างในตู้อบลมร้อน (Memmert 800 ประเทศไทย) ที่อุณหภูมิ 105 °C จนได้น้ำหนักคงที่จากนั้นคำนวนปริมาณความชื้น [28] โดยให้ความชื้นสุดท้ายมีค่า น้อยกว่าร้อยละ 9 ของน้ำหนักแห้ง บอกความชื้นของตัวอย่างให้เป็นผงและแบ่งเป็น 4 ขนาด ได้แก่ 38-63 63-125 125-180 และ 180-250 ไมครอน โดยร่อนผ่านตะแกรงขนาด 400, 230, 120, 80 และ 60 เมช ด้วยเครื่องแยกขนาด (Retsch AS200 Basic ประเทศไทยเยอร์มัน) บรรจุในอาหารผงแต่ละขนาดแบบสุญญากาศในถุงอะลูมิเนียมฟอยล์ และเก็บรักษาไว้ที่อุณหภูมิห้อง

### 2.3 การเตรียมน้ำสับประดิษฐ์

ลังสับประดิษฐ์ (Smooth Cayenne pineapples, *Ananas comosus* Merr.) ให้สะอาด ปอกเปลือก เอาแกนกลางออก หั่นให้เป็นชิ้นขนาดเล็ก คั้นน้ำด้วยเครื่อง

คั้นระบบไฮโดรลิก (Sakaya, 4104, ประเทศไทย) วัดปริมาณของแข็งที่ละลายน้ำทั้งหมด (Total soluble solid, TSS) และค่า pH ในน้ำสับประดิษฐ์ (Atago N1 ประเทศไทย) และเครื่องวัด pH (Tüv Rheinland CG 841 ประเทศไทยเยอร์มัน) ตามลำดับ โดยควบคุมน้ำสับประดิษฐ์ให้มีค่า TSS อยู่ในช่วง 12.2-14.2 องศาบริกช์ และค่า pH อยู่ในช่วง 3.74-4.00 ก่อนเติมกากมะนาวลงทุกครั้ง

### 2.4 การเตรียมน้ำสับประดิษฐ์ไอกาหารผง

โรยไอกาหารผงขนาด 38-63 ไมครอน ปริมาณ 15 ก. ลงในน้ำสับประดิษฐ์ปริมาตร 285 มล. ที่กวนด้วยความเร็ว 1,000 รอบต่อนาที เป็นเวลา 1 นาที ที่อุณหภูมิห้อง (30 °C) จากนั้นปั่นผสมด้วยโกลปั่นของเหลว (Waring 32BL80, ประเทศไทยเยอร์รูมาร์ก) ความเร็วระดับปานกลาง เป็นเวลา 5 นาที เพื่อให้เกิดเนื้อสัมผัสที่เนียนขึ้น แล้วอุ่นตัวอย่างด้วยเครื่องเซียร์ (Heto SB-29-A AT ประเทศไทยเยอร์รูมาร์ก) ที่อุณหภูมิ 65 °C ที่ความเร็ว 80 รอบต่อนาที เป็นเวลา 10 นาที เพื่อให้เกิดการอุ่มน้ำอย่างเต็มที่ของไอกาหาร (Full hydration) ตัวอย่างที่ได้จะมีความเข้มข้นไอกาหารผงร้อยละ 5 แบ่งตัวอย่างส่วนหนึ่งมาเจือจากด้วยน้ำสับประดิษฐ์เพื่อปรับความเข้มข้นของไอกาหารผงให้เป็น 3 และร้อยละ 1 ตามลำดับ จากนั้นพาสเจอร์ลัตัวอย่างที่อุณหภูมิ 95 °C เป็นเวลา 2 นาที ในเครื่องเซียร์ควบคุมอุณหภูมิ บรรจุตัวอย่างลงในขาดพลาสติก แบ่งชุดตัวอย่างออกเป็น 2 ส่วน ส่วนหนึ่งนำไปวัดพฤติกรรมการให้เหลวที่อุณหภูมิห้อง (30 °C) และอีกส่วนหนึ่งนำไปเก็บไว้ที่อุณหภูมิ 4 °C เป็นเวลา 1 วัน แล้วนำมารวัดพฤติกรรมการให้เหลวที่อุณหภูมิ 4 °C จากนั้นทำการทดลองช้าเช่นเดิม แต่เปลี่ยนขนาดของไอกาหารผงเป็น 63-125 125-180 และ 180-250 ไมครอน ตามลำดับ

### 2.5 การวัดพฤติกรรมการให้เหลว

ศึกษาพฤติกรรมการให้เหลวของตัวอย่างน้ำสับประดิษฐ์ไอกาหารโดยใช้เครื่องวัดความหนืด (Haake VT500 ประเทศไทยเยอร์มัน) ใช้หัวหมุนทรงกระบอก ชนิด NV วัดความหนืดตัวอย่างที่มีความเข้มข้นไอกาหารผงร้อยละ 1 และหัวหมุนทรงกระบอกชนิด SVI สำหรับวัดความหนืด

ตัวอย่างที่มีความเข้มข้นของไขอาหารคงร้อยละ 3 และ 5 ให้อัตราเฉือน (shear rate) เพิ่มขึ้นตั้งแต่ 0 ถึง 500 ต่อ วินาที ภายใน 3 นาที โดยความคุณภาพมีตัวอย่างในระหว่างการรัծตี่ 30 และ 4 °C ตามลำดับ

## 2.6 การวัดขนาดอนุภาค

วัดขนาดอนุภาคของไขอาหารคง (ตัวอย่างแห้ง) และขนาดของไขอาหารคงเมื่อผสมอยู่ในน้ำสับประดิษฐ์ (ตัวอย่างเปียก) ด้วยเครื่องวัดขนาดอนุภาค (Malvern Mastersizer S, MS15 (dry), PS65 (hydrate), ประเทศอังกฤษ) ซึ่งใช้หลักการของการกระเจิงของแสงเลเซอร์ ทำการทดลอง 3 ชั้้า ตัวอย่างตัวอย่างแห้งใช้ชั้้าละ 10 ถึง 20 g. และตัวอย่างเปียกใช้ชั้้าละ 80 mL.

## 2.7 การวิเคราะห์ปริมาณไขอาหาร

การหาปริมาณไขอาหารทั้งหมด (Total dietary fiber, TDF) ในอาหารที่ละลายน้ำ และไขอาหารที่ไม่ละลายน้ำ ใช้วิธี Enzymatic-gravimetric [28] ซึ่งวิธีนี้ใช้

เอนไซม์อลฟ่า-อะไมเลสที่ทนความร้อน (เย้อ Sigma-Aldrich, ประเทศเยอรมัน) ย่อยตัวอย่างอบแห้งให้เกิดเจล จากนั้นย่อตัวอย่างด้วยโปรตีอีส (Protease) และอะไมโลกลูโคไซด์ (Amyloglucosidase) (เย้อ Sigma-Aldrich, ประเทศเยอรมัน) เพื่อกำจัดโปรตีนและแป้ง นำตัวอย่างไปกรองได้ส่วนของไขอาหารที่ไม่ละลายน้ำ ล้างไขอาหารที่ไม่ละลายน้ำด้วยน้ำกลั่นอุ่น นำส่วนใส่จากการกรองที่ผสมกับน้ำล้างมาเติมເວທານອลร้อยละ 95 ปริมาณ 4 เท่าของปริมาตรนั้นๆ แล้วให้ความร้อนที่อุณหภูมิ 60 °C เพื่อให้ส่วนของไขอาหารที่ละลายน้ำได้ตกตะกอน นำตะกอนที่ได้ไปอบแห้งในตู้อบลมร้อน (เย้อ Memmert 800, ประเทศเยอรมัน) ที่อุณหภูมิ 105 °C จนน้ำหนักคงที่ สำหรับการวิเคราะห์โปรตีนใช้วิธี Kjeldahl และวิเคราะห์ปริมาณถ้าทำโดยเผาตัวอย่างในเตาเผาที่อุณหภูมิ 525 °C (เย้อ Nexo 2-160, ประเทศสวีเดน) ตามลำดับ (AOAC, 2000)

สูตรการคำนวนปริมาณไขอาหารที่ละลายน้ำและไขอาหารที่ไม่ละลายน้ำ แสดงดังนี้

$$\frac{\text{ร้อยละไขอาหารที่ละลายน้ำ}}{\text{ร้อยละไขอาหารที่ไม่ละลายน้ำ}} = \frac{((\text{น้ำหนักของส่วนที่เหลือ} - \text{โปรตีน} - \text{ถ้า}) - \text{แบลงก์}) \times 100}{\text{น้ำหนักตัวอย่าง}} \quad (1)$$

และปริมาณไขอาหารทั้งหมดเท่ากับผลรวมระหว่าง ปริมาณไขอาหารที่ละลายน้ำและไขอาหารที่ไม่ละลายน้ำ

## 2.8 การวิเคราะห์ปริมาณเพคติน

นำกากมะนาวสด 5 g. หรือไขอาหารคง 1 g. มาสกัด เพคตินด้วย กรดไฮโดรคลอริกความเข้มข้น 0.05 โมลาร์ ปริมาตร 30 mL เป็นเวลา 60 นาที ที่อุณหภูมิ 90 °C โดย กระบวนการละลายอย่างต่อเนื่อง จากนั้นพิ้งให้เย็นที่อุณหภูมิ ห้องແລະนำไปหมุนเหวี่ยงแยกชั้นด้วยความเร็ว 2,700 xg เป็นเวลา 15 นาที ที่อุณหภูมิ 25 °C เก็บส่วนที่แยกชั้น อยู่ด้านบนไว้ และละลายลงใน 2-propanol ที่มีปริมาตร เท่ากัน ทำการตกตะกอนเพคตินด้วยการปรับ pH สารละลายเป็น 3.5 พิ้งไว้ 6 ชม. นำสารละลายไปหมุนเหวี่ยงด้วยความเร็ว 2700 xg อีกครั้ง เป็นเวลา 15 นาที ที่อุณหภูมิ 25 °C เพื่อแยกเพคตินออกมาก จากนั้นนำไปละลายใน 2-propanol อีกครั้ง ความเป็นเวลา 1 ชม. นำ

ไปหมุนเหวี่ยงอีกครั้งที่ 2,700 xg เป็นเวลา 15 นาที ที่ อุณหภูมิ 25 °C ทำการละลายเพคตินที่แยกอยู่ด้านบน และละลายลงใน 2-propanol ช้าอีก 2 ครั้ง จากนั้นล้าง ส่วนที่แยกได้ด้วย 2-propanol ปริมาตร 25 mL นำไปหมุนเหวี่ยงด้วยความเร็ว 2,700 xg เป็นเวลา 15 นาที ที่ อุณหภูมิ 25 °C เก็บส่วนที่ตกตะกอนและนำไปอบแห้งที่ 60 °C เป็นเวลา 5 ชม.

## 2.9 การวัดสี

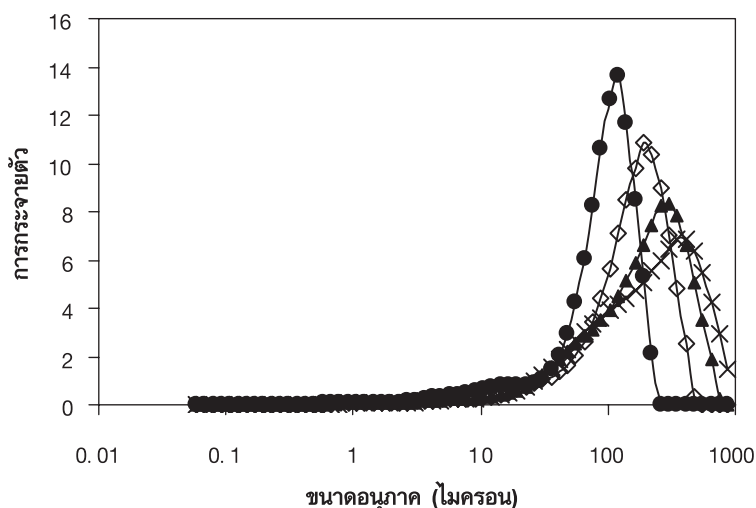
วัดค่าสีของตัวอย่างด้วยระบบ Hunter Lab ด้วย เครื่องวัดสี (บริษัท Juki รุ่น JP 7100 ประเทศญี่ปุ่น) โดย รายงานค่าสีเป็นสัญลักษณ์ L, a และ b ซึ่งแสดงถึง ความสว่าง (Lightness) ความเป็นสีแดง (Redness) และ ความเป็นสีเหลือง (Yellowness) ของตัวอย่าง ตามลำดับ

## 2.10 การออกแบบการทดลองและการวิเคราะห์ค่าทางสถิติ

การออกแบบการทดลองของงานวิจัยนี้เป็นแบบ Full factorial โดยศึกษาผลของความเข้มข้นของอาหาร mannitol 3 ระดับ (ร้อยละ 1 3 และ 5) ขนาดอนุภาค 由อาหารผง 4 ระดับ (38-63 63-125 125-180 และ 180-250 ไมครอน) และอุณหภูมิ 2 ระดับ (4 และ 30 °C) ต่อพฤติกรรมการไหลของน้ำสับปะรดผสมกาก mannitol ทำการทดลองทั้งหมด 3 ชั้า และการวิเคราะห์ค่าจะรายงานเป็นค่าเฉลี่ยและค่าความเบี่ยงเบนมาตรฐานจากการทำซ้ำ

## 3. ผลการทดลอง

ขนาดของอนุภาคของอาหารผงหลังจากการอุ่มน้ำอย่างเต็มที่ (Full hydration) ในน้ำสับปะรด แสดงในรูปที่ 1 พบว่าอนุภาคมีขนาดใหญ่ขึ้นอย่างชัดเจนเนื่องจากอุ่มน้ำไว้ในตัวอนุภาค (ตารางที่ 1) งานวิจัยที่ผ่านมา พบว่า อาหารที่มีเพคตินเป็นองค์ประกอบปริมาณมาก เช่น Peach pomace [21] มีค่าการบวมน้ำ (Swelling) สูงกว่า อาหารอื่นๆ สำหรับการมานะผงที่ใช้ในการทดลองนี้ ประกอบด้วย



รูปที่ 1 การกระจายตัวของอนุภาคของอาหารในน้ำสับปะรดจากขนาดอนุภาคเริ่มต้นต่างๆ ((●) 38-63 ไมครอน (◊) 63-125 ไมครอน (▲) 125-180 ไมครอน และ (x) 180-250 ไมครอน

ตารางที่ 1 ขนาดอนุภาคของอาหารผงก่อนและหลังผสมกับน้ำสับปะรด

ขนาดตะแกรงร่อน (ไมครอน)	ขนาดอนุภาคเฉลี่ยหลังการแขวนลดลงน้ำสับปะรด (ไมครอน)
38-63	94
63-125	159
125-180	210
180-250	249

เพคติน  $24.65 \pm 0.88$  g./100 g. น้ำหนักแห้ง เนื่องจากสารประกอบกลุ่มเพคติกมีความเป็น Hydophilicity สูง ซึ่งขนาดของอนุภาคที่บวมน้ำ หลังจากการเกิดการ อุ้มน้ำอย่างเด้มที่แล้วนั้น จะมีผลต่อพฤติกรรมการไหลของ ตัวอย่าง เนื่องจากอนุภาคที่มีขนาดใหญ่ขึ้น จะชัดขึ้นของการไหล ทำให้ ส่งผลต่อค่าความหนืดของตัวอย่างนอกจากนี้เพคตินยังทำ หน้าที่เป็นสารเพิ่มความหนืด (Thickening agent) หรือ สารที่ทำให้เกิดเจล จึงส่งผลต่อพฤติกรรมการไหลของ ตัวอย่างเช่นกัน

รูปที่ 2 แสดงพฤติกรรมการไหลของน้ำสับปะรดผสม 以อาหารจากกากมาน้ำที่ขนาดอนุภาค และความเข้มข้น ต่างๆ ที่อุณหภูมิ  $30^{\circ}\text{C}$  ตามลำดับ ซึ่งพฤติกรรมการไหล ของตัวอย่างสามารถอธิบายด้วยสมการยกกำลัง (Power-law) ดังนี้

$$\tau = K \dot{\gamma}^n \quad (2)$$

โดยที่  $\tau$  คือ แรงเค้น (Shear stress; Pa)

$K$  คือ ค่าสัมประสิทธิ์ความหนืด (Consistency coefficient; Pa s<sup>n</sup>)

$\dot{\gamma}$  คือ อัตราเฉือน (Shear rate; s<sup>-1</sup>)

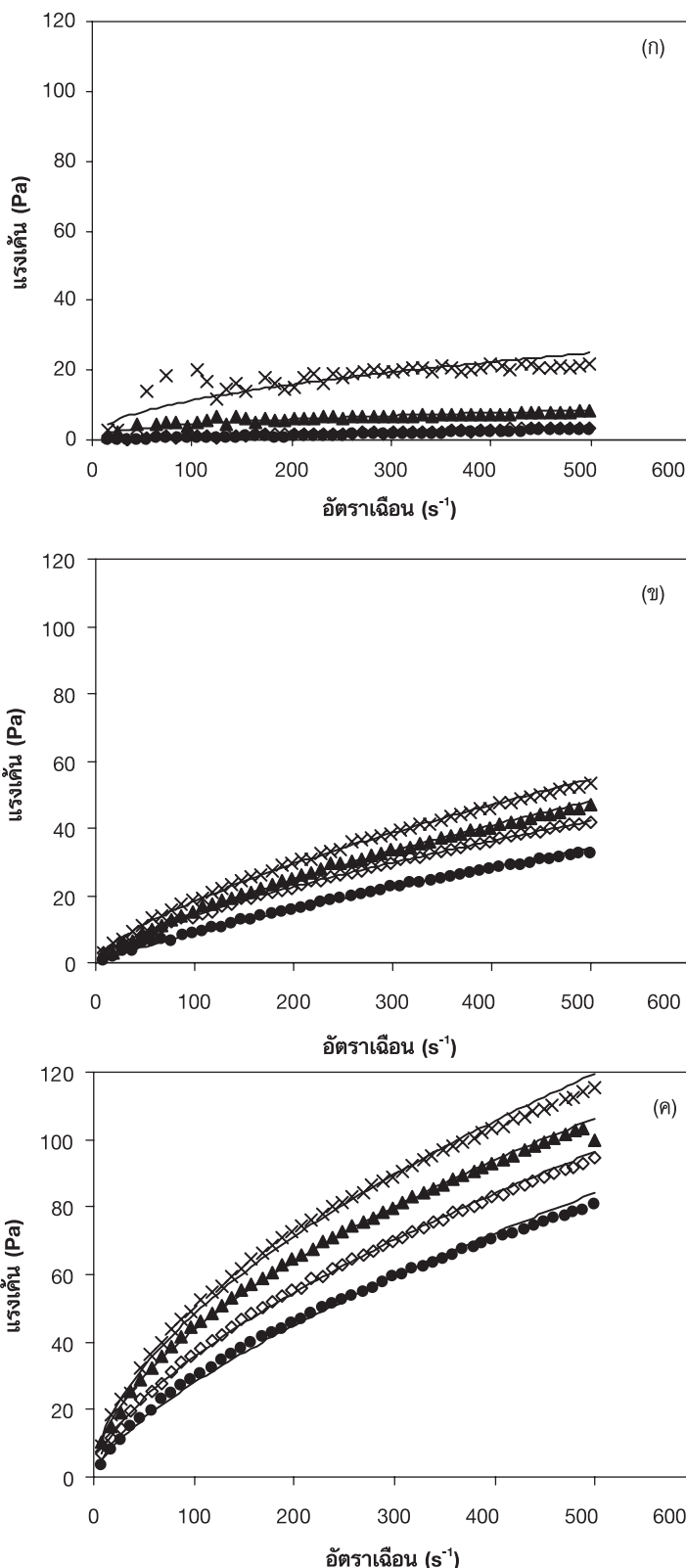
$n$  คือ ค่าดัชนีพฤติกรรมการไหล (Flow behavior index)

ตารางที่ 2 แสดงค่าสัมประสิทธิ์ความหนืด ( $K$ ) และ ค่าดัชนีพฤติกรรมการไหล ( $n$ ) ผลโดยรวมแสดงให้เห็นว่า ตัวอย่างมีพฤติกรรมการไหลแบบชูโดพลาสติก (Pseudoplastic behavior) ยกเว้นที่ตัวอย่างความเข้มข้นร้อยละ 1 ของอาหารลงที่มีขนาดอนุภาคเล็กที่สุด ( $38-63$  ไมครอน) มีพฤติกรรมการไหลแบบนิวตันเนียน (Newtonian behavior)

จากรูปที่ 2(ก) จะสังเกตเห็นความแปรปรวนของ ข้อมูลที่อัตราเฉือนต่ำ ( $0-200$  s<sup>-1</sup>) โดยเฉพาะตัวอย่างที่ ความเข้มข้นร้อยละ 1 ของอนุภาคขนาดใหญ่ ( $125-180$  และ  $180-250$  ไมครอน) ซึ่งที่ความเข้มข้นของอาหาร

ผงสูงขึ้นจะไม่ปรากฏความแปรปรวนดังกล่าว เมื่อเทียบ กับช่วงขนาดอนุภาคเดียวกัน ทั้งนี้เนื่องจาก ที่ระดับความ เข้มข้นของอนุภาคต่ำ อาหารลงมีจำนวนอนุภาคขนาด ใหญ่กระจายตัวอยู่ในน้ำสับปะรด การเรียงตัวไม่เป็น ระเบียบของอนุภาคในอาหารลงส่งผลให้ค่าแรงเค้นขึ้นลง ไม่แน่นอน แต่เมื่อให้อัตราเฉือนเพิ่มขึ้น อนุภาคจะเกิด การจัดเรียงตัวใหม่ทำให้การไหลราบรื่นขึ้น ซึ่งการเรียง ตัวของอนุภาคทำให้อนุภาคเคลื่อนที่ได้ง่ายขึ้น และส่งผล ให้ค่าความหนืดลดลง นอกจากนี้ยังพบว่า เมื่อเพิ่มความ เข้มข้นของอาหารลง ผลของขนาดอนุภาคต่อพฤติกรรม การไหลนั้นจะสังเกตได้ชัดเจนยิ่งขึ้น ปรากฏการณ์นี้ชี้ให้ เห็นว่า ความเข้มข้นและขนาดของอนุภาคมีผลต่อแรง เค้นอย่างมีนัยสำคัญ โดยสามารถพิจารณาได้จากข้อมูล ในตารางที่ 2 และ 3 ค่า  $K$  และความหนืดปรากฏ (η) เพิ่มขึ้น เมื่อความเข้มข้นของอาหารลงสูงขึ้นและขนาด อนุภาคในอาหารลงใหญ่ขึ้น แต่ค่า  $n$  จะลดลง ซึ่งหมาย ถึงพฤติกรรมการไหลของตัวอย่างเป็นชูโดพลาสติกเพิ่มขึ้น ดังที่กล่าวมาข้างต้น น้ำสับปะรดที่มีความเข้มข้นของ อาหารจากกากมาน้ำสูง มีผลทำให้ค่า  $K$  และ  $\eta$  เพิ่ม ขึ้นด้วย เนื่องมาจากตัวอย่างมีจำนวนอนุภาคมากขึ้น ทำให้ โอกาสการซิดกันระหว่างอนุภาคเพิ่มขึ้น เป็นสาเหตุให้ไป ขัดขวางการไหล ดังนั้นความหนืดจึงเพิ่มมากกว่า น้ำ สับปะรดผสมในอาหารลงที่ระดับความเข้มข้นต่ำกว่า [22, 30-31]

นอกจากนี้ความสามารถในการแขวนลอยของอนุภาค ในอาหารลงในน้ำสับปะรด น่าจะเป็นผลร่วมของเพคติน ในกากมาน้ำที่ละลายออกในระบบจากที่กล่าวมาข้างต้น เพคตินทำหน้าที่เป็นสารเพิ่มความหนืด (Thickening agent) และทำให้เกิดเจล จึงเพิ่มความหนืดให้กับตัวอย่าง ดังนั้นจึงช่วยแขวนลอยตะกอนของเยื่อผลไม้ ซึ่งจะเกิดขึ้น ได้ดีในระบบที่มีค่า pH ต่ำ และมีความร้อนซึ่งเพิ่มการ ละลายของเพคติน [32] การเพิ่มความเข้มข้นของผง อาหารในน้ำสับปะรด จึงเป็นการเพิ่มปริมาณเพคตินที่ ละลายได้ ซึ่งส่งผลให้ความหนืดของน้ำสับปะรดเพิ่มขึ้น



**รูปที่ 2** แรงเห็นที่กระทำต่อน้ำลับประดผลสมการมานาฬง: (η) ร้อยละ 1 (○) ร้อยละ 3 (◇) ร้อยละ 5 ที่ขนาดอนุภาคต่างๆ ((●) 38-63 ไมครอน (×) 63-125 ไมครอน (▲) 125-180 ไมครอน และ (×) 180-250 ไมครอน) ณ อุณหภูมิ 30 °C

**ตารางที่ 2** ผลของความเข้มข้นและขนาดอนุภาคของกากมะนาวผงต่อสัมประสิทธิ์ความหนืด ( $K$ ) และค่าตัวชี้การไฟล์ ( $\eta$ ) ของน้ำลับประตูที่อุณหภูมิ  $30^{\circ}\text{C}$

ความเข้มข้น (ร้อยละ)	ขนาดอนุภาค (ไมครอน)	$K$ (Pa s $''$ )	$n$	$r^2$
1	38-63	$0.006 \pm 0.001$	1	0.964
	63-125	$0.069 \pm 0.015$	$0.640 \pm 0.020$	0.842
	125-180	$1.186 \pm 0.001$	$0.324 \pm 0.001$	0.819
	180-250	$1.581 \pm 0.288$	$0.441 \pm 0.048$	0.637
3	38-63	$0.170 \pm 0.061$	$0.864 \pm 0.069$	0.990
	63-125	$0.378 \pm 0.226$	$0.774 \pm 0.096$	0.993
	125-180	$0.486 \pm 0.075$	$0.734 \pm 0.026$	0.993
	180-250	$0.732 \pm 0.146$	$0.684 \pm 0.030$	0.997
5	38-63	$1.325 \pm 0.149$	$0.676 \pm 0.015$	0.994
	63-125	$3.630 \pm 1.360$	$0.562 \pm 0.050$	0.996
	125-180	$4.167 \pm 1.199$	$0.550 \pm 0.020$	0.994
	180-250	$5.250 \pm 1.592$	$0.542 \pm 0.020$	0.993

$r^2$  = correlation coefficient

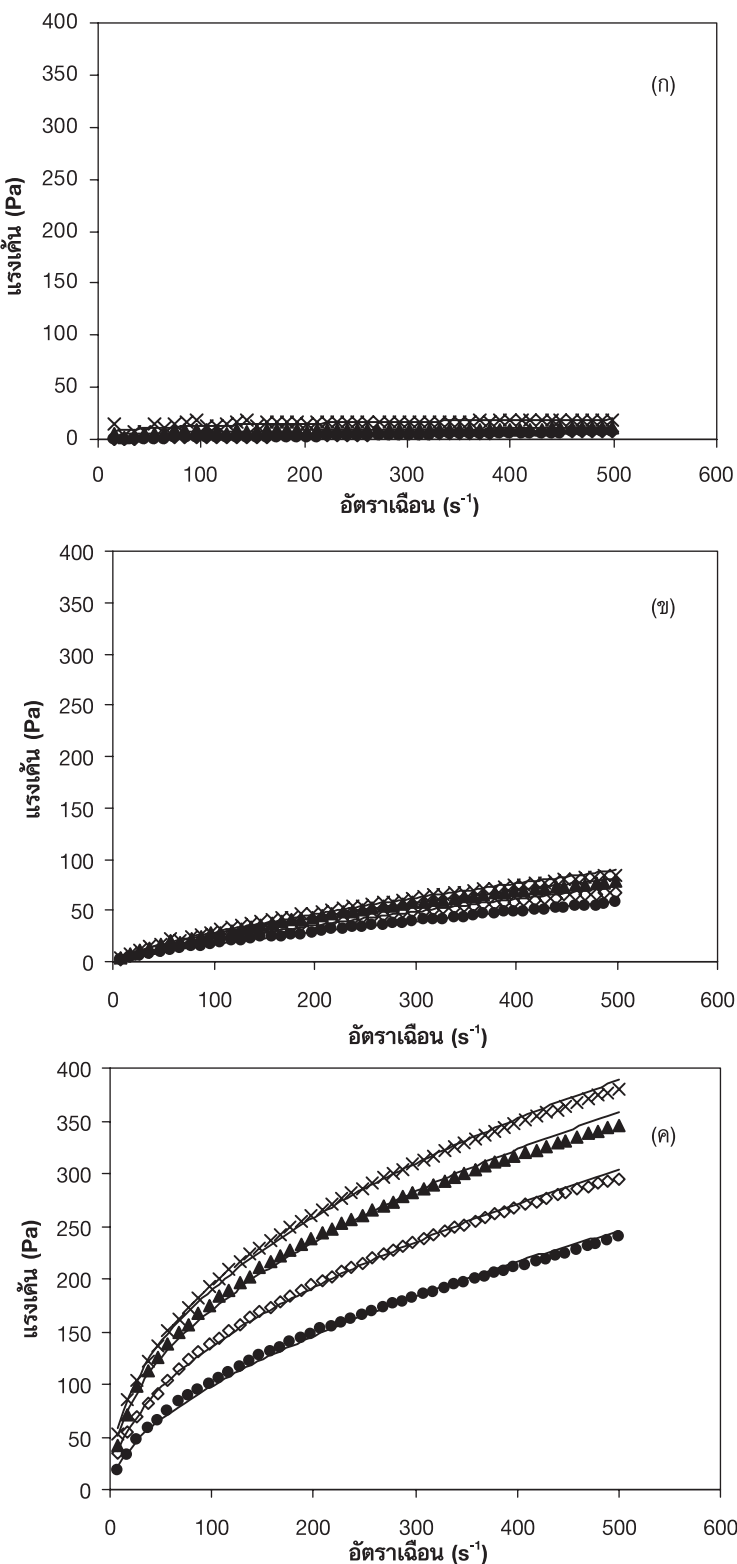
**ตารางที่ 3** ความหนืดปรากฏที่ความเร็ว  $500\text{ s}^{-1}$  ของเปลือกมะนาวผงสมน้ำลับประตูที่อุณหภูมิ  $30^{\circ}\text{C}$

ความเข้มข้น (ร้อยละ)	ขนาดอนุภาค (ไมครอน)	$\eta_a$ (Pa s)
1	38-63	$6.58\text{E-}03 \pm 0.0006$
	63-125	$7.69\text{E-}03 \pm 0.0004$
	125-180	$1.63\text{E-}02 \pm 0.0027$
	180-250	$4.38\text{E-}02 \pm 0.0038$
3	38-63	$6.56\text{E-}02 \pm 0.0012$
	63-125	$7.92\text{E-}02 \pm 0.0043$
	125-180	$8.95\text{E-}02 \pm 0.0037$
	180-250	$1.19\text{E-}01 \pm 0.0322$
5	38-63	$1.69\text{E-}01 \pm 0.0070$
	63-125	$2.20\text{E-}01 \pm 0.0271$
	125-180	$2.38\text{E-}01 \pm 0.0431$
	180-250	$2.85\text{E-}01 \pm 0.059$

จากพฤติกรรมการไหลของน้ำสับปะรดผสมไขอาหารจากภูมานาที่ขนาดอนุภาคและความเข้มข้นต่างๆ ที่อุณหภูมิ  $4^{\circ}\text{C}$  (รูปที่ 3) พบว่า ตัวอย่างทั้งหมดแสดงพฤติกรรมการไหลแบบชุดโดยผลิติก โดยค่า  $K$  และค่า  $n$  แสดงดังตารางที่ 4 ซึ่งลังเกตได้ว่า แรงเดินมากขึ้นเมื่อความเข้มข้นและขนาดของไขอาหารผงเพิ่มขึ้น โดยมีแนวโน้มคล้ายคลึงกับผลการทดลองที่  $30^{\circ}\text{C}$  เมื่อเปรียบเทียบค่า  $K$  ของตัวอย่างทดลองที่อุณหภูมิ  $30$  และ  $4^{\circ}\text{C}$  พบว่า ค่า  $K$  เพิ่มขึ้นอย่างมีนัยสำคัญ เมื่อลดอุณหภูมิลง ความหนืดปรากฏ ( $\eta_s$ ) เพิ่มขึ้นที่อุณหภูมิต่ำ (ตารางที่ 5) อย่างไรก็ตาม ค่า  $n$  ไม่เปลี่ยนแปลงตามอุณหภูมิ

ตารางที่ 6 แสดงลักษณะของน้ำสับปะรดสดเปรียบเทียบกับตัวอย่างน้ำสับปะรดผสมภูมานาผงขนาด  $38\text{-}63$  ไมครอน ความเข้มข้นร้อยละ  $5$  ซึ่งน้ำสับปะรดที่เตรียมมีค่าปริมาณของแข็งที่ละลายได้ทั้งหมด (Total soluble solid) ค่า pH และปริมาณเพคติน ใกล้เคียงกับการรายงานผลการวิเคราะห์น้ำสับปะรดสำเร็จรูปที่ผลิตเชิงการค้า (Commercially produced pineapple juice) โดย Camáron และคณะ [33] นอกจากนี้น้ำสับปะรดที่เตรียมมีค่าความหนืดใกล้เคียงกับค่าที่รายงานโดย Jirarattananon และคณะ [34]

เมื่อเติมภูมานาผงลงในน้ำสับปะรด มีผลทำให้ปริมาณของแข็งที่ละลายได้ทั้งหมดเพิ่มขึ้น และค่า pH ลดลง ทั้งนี้เนื่องจากองค์ประกอบของภูมานาที่มีปริมาณของแข็งที่ละลายได้เป็นองค์ประกอบ และการที่ยังคงอยู่ในการภูมานามีผลทำให้เกิดการเปลี่ยนแปลงค่า pH ในส่วนของไขอาหารที่ไม่ละลายน้ำ ไขอาหารที่ละลายน้ำ และไขอาหารทั้งหมดเพิ่มขึ้นอย่างเห็นได้ชัดเจน เมื่อพิจารณาปริมาณไขอาหารทั้งหมดในน้ำสับปะรดผสมไขอาหารผงในงานวิจัยนี้เปรียบเทียบกับผลิตภัณฑ์อื่น พบว่ามีไขอาหารสูงกว่า อัตติเซ่น เครื่องดื่มเสริมเลี้นไขอาหารชนิดผงสำเร็จรูปจากมะลอกมีไขอาหารทั้งหมด  $1.46$  g. ต่อ  $100$  มิลลิลิตร [35] โยเกิร์ตเสริมไขอาหารจากอินนูลิน หน่อไม้ข้าวสาลีและแอปเปิล ซึ่งมีไขอาหารทั้งหมด  $1.3$  g./ $100$  mL. ต่อ  $100$  mL. [36] นอกจากนี้เมื่อเติมไขอาหารแล้วน้ำสับปะรดมีความหนืดเพิ่มขึ้นอย่างชัดเจน ซึ่งเป็นผลร่วมของอนุภาคของภูมานาที่ไปขัดขวางการไหลและเพคตินที่ละลายออกมากจากภูมานา ผลิตภัณฑ์ที่ได้มีลักษณะเจลเล็กน้อย ซึ่งแตกต่างไปจากเครื่องดื่มทั่วไป และการเติมภูมานาในน้ำสับปะรดทำให้ความสว่างของน้ำสับปะรดเพิ่มขึ้น ความเป็นลีเชีย (a) และความเป็นลีเหลือง (b) เพิ่มขึ้นอย่างชัดเจน



รูปที่ 3 แรงเค้นที่กระทำต่อน้ำสับปะรดผสมกากมะนาว翁: (ก) ร้อยละ 1 (ข) ร้อยละ 3 (ค) ร้อยละ 5 ที่ขนาดอนุภาคต่างๆ ((●) 38-63 ไมครอน (◊) 63-125 ไมครอน (▲) 125-180 ไมครอน และ (×) 180-250 ไมครอน) ณ อุณหภูมิ 4 °C

**ตารางที่ 4** ผลของความเข้มข้นและขนาดอนุภาคของกากมานาผงต่อสัมประสิทธิ์ความหนืด ( $K$ ) และค่าดัชนีการไหล ( $n$ ) ของน้ำลับประดที่อุณหภูมิ  $4^{\circ}\text{C}$

ความเข้มข้น (ร้อยละ)	ขนาดอนุภาค (ไมครอน)	$K$ (Pa s <sup>n</sup> )	$n$	$r^2$
1	38-63	$0.020 \pm 0.004$	$0.9378 \pm 0.043$	0.983
	63-125	$0.064 \pm 0.048$	$0.813 \pm 0.119$	0.926
	125-180	$1.400 \pm 0.773$	$0.348 \pm 0.131$	0.654
	180-250	$2.782 \pm 0.413$	$0.353 \pm 0.012$	0.695
3	38-63	$0.335 \pm 0.213$	$0.839 \pm 0.097$	0.993
	63-125	$0.577 \pm 0.024$	$0.764 \pm 0.028$	0.995
	125-180	$0.815 \pm 0.453$	$0.739 \pm 0.074$	0.996
	180-250	$0.939 \pm 0.204$	$0.714 \pm 0.005$	0.997
5	38-63	$6.220 \pm 1.375$	$0.586 \pm 0.025$	0.995
	63-125	$11.466 \pm 3.059$	$0.519 \pm 0.028$	0.999
	125-180	$19.844 \pm 1.115$	$0.460 \pm 0.001$	0.995
	180-250	$20.992 \pm 4.791$	$0.462 \pm 0.023$	0.999

$r^2$  = correlation coefficient

**ตารางที่ 5** ความหนืดปรากฏที่ความเร็ว  $500\text{ s}^{-1}$  ของปลีอกมานาผงผสมน้ำลับประดที่อุณหภูมิ  $4^{\circ}\text{C}$

ความเข้มข้น (ร้อยละ)	ขนาดอนุภาค (ไมครอน)	$\eta_a$ (Pa s)
1	38-63	$1.40\text{E-02} \pm 0.0008$
	63-125	$1.78\text{E-02} \pm 0.0021$
	125-180	$2.08\text{E-02} \pm 0.0020$
	180-250	$4.02\text{E-02} \pm 0.0050$
3	38-63	$1.07\text{E-01} \pm 0.0109$
	63-125	$1.27\text{E-01} \pm 0.0108$
	125-180	$1.42\text{E-01} \pm 0.0215$
	180-250	$1.51\text{E-01} \pm 0.0249$
5	38-63	$4.53\text{E-01} \pm 0.0376$
	63-125	$5.56\text{E-01} \pm 0.0505$
	125-180	$6.72\text{E-01} \pm 0.0281$
	180-250	$7.22\text{E-01} \pm 0.0559$

### ตารางที่ 6 คุณลักษณะของตัวอย่างน้ำสับปะรดหลังเติมภูมาน้ำผงขนาด 38-63 ไมครอน ความเข้มข้นร้อยละ 5

ลักษณะ	น้ำสับปะรด	น้ำสับปะรดผสมไขอาหารร้อยละ 5
ปริมาณของเชิงที่ละลายได้ทั้งหมด	14.2 °Brix	16 °Brix
pH	3.84	3.64
ปริมาณไขอาหารที่ไม่ละลายน้ำ	0.056 g./100 ml.	1.64 g./100 ml.
ปริมาณไขอาหารที่ละลายน้ำ	0.02 g./100 ml.	1.48 g./100 ml.
ปริมาณไขอาหารทั้งหมด	0.076 g./100 ml.	3.03 g./100 ml.
ปริมาณเพคติน	0.0073 g./100 ml.	1.28 g./100 ml.
ความหนืดปรากฏที่อัตราเฉือน = $500 \text{ s}^{-1}$ (วัดที่ $30^\circ\text{C}$ )	0.0036 Pa.s	0.17 Pa.s
สี	$L = 22.38, a = -1.46, b = 1.37$	$L = 40.71, a = -9.37, b = 17.47$

## 4. สรุปผลการทดลอง

จากการศึกษาสมบัติการให้ผลพบว่าความหนืดและความเป็นชูด์เพลาสติกของน้ำผลไม้ผสมไขอาหารเพิ่มขึ้น เมื่อเพิ่มความเข้มข้นและขนาดอนุภาคของไขอาหารผง ถ้าทั้งเพคตินได้ละลายออกมากจากไขอาหารผงจากภูมาน้ำซ่าวายเพิ่มความหนืดให้กับน้ำผลไม้จึงช่วยเพิ่มความคงตัวให้กับผลิตภัณฑ์น้ำผลไม้ จากผลการทดลองแสดงให้เห็นว่าไขอาหารผงผลิตจากภูมาน้ำหลังการคั้นน้ำสามารถนำมาประยุกต์ใช้กับเครื่องดื่มเพื่อเพิ่มปริมาณไขอาหาร จึงอาจนำไปสู่การผลิตเครื่องดื่มสุขภาพในระดับอุตสาหกรรมได้

## 5. กิตติกรรมประกาศ

งานวิจัยนี้ได้รับทุนอุดหนุนจาก ศูนย์พันธุ์วิศวกรรมและเทคโนโลยีแห่งชาติ (BIOTEC) และคณะผู้วิจัยขอขอบพระคุณ ศูนย์เทคโนโลยีโลหะและวัสดุแห่งชาติ (MTEC) ที่ให้ความอนุเคราะห์ในการใช้เครื่องดื่มขนาดอนุภาค

## 6. เอกสารอ้างอิง

- Fernández-López, J., Fernández-Gin's, J.M., Aleson-Carbonell, L., Sendra, E., Sayas-Barberá, E., and Pérez- Álvarez, J.A., 2004, "Lemon Albedo as a New Source of Dietary Fiber: Application to Functional Citrus By-products to Meat Products,"

*Trends in Food Science and Technology*, Vol. 15, pp. 176-185.

- Davidson, M.H. and McDonald, A., 1998, "Fiber: Forms and Functions", *Nutrition Research*, Vol. 18, pp. 617-624.

- Thebaudin, J.Y., Lafabvre, A.C., Harrington, M., and Bourgeois, C.M., 1997, "Dietary Fibers: Nutritional and Technological Interest", *Trends in Food Science and Technology*, Vol. 8, No. 2, pp. 41-48.

- Larrauri, J.A., 1999, "New Approaches in the Preparation of High Dietary Fiber Powders from Fruit By-Products", *Trends in Food Science and Technology*, Vol. 10, No. 1, pp. 3-8.

- Schieber, A., Stintzing, F.C., and Carle, R., 2001, "By-products of Plant Food Processing as a Source of Functional Compounds Recent Developments", *Trends in Food Science and Technology*, Vol. 12, No. 11, pp. 401-413.

- Lario, Y., Sendra, E., García-Pérez, J., Fuentes, C., Sayas-Barberá, E., Fernández-López, J., and Pérez-Alvarez, J.A., 2004, "Preparation of High Dietary Fiber Powder from Lemon Juice by Products," *Innovative Food Science and Emerging Technologies*, Vol. 5, No. 1, pp. 113-117.

7. García, M.L., Dominguez, R., Galvez, M.D., Casas, C., and Selgas, M.D., 2002, "Utilization of Cereal and Fruit Fiber in Low Fat Dry Fermented Sausages", *Meat Science*, Vol. 60, pp. 227-236.
8. Attavanich, N., and Anprung, P., 2003, "Dietary Fiber Powder from *Citrus reticulate* Blanco Peel and Its Application", *Food*, Vol. 33, pp. 45-55.
9. Larrauri, J.A., Rupérez, P., Bravo, L., and Saura-Calixto, F., 1996, "High Dietary Fiber Powders from Orange and Lime Peels: Associated Polyphenols and Antioxidant Capacity", *Food Research International*, Vol. 29, No. 8, pp. 757-762.
10. Grigelmo-Miguel, N. and Martín-Belloso, O., 1999, "Characterization of Dietary fiber from Orange Juice Extraction", *Food Research International*, Vol. 31, No. 5, pp. 355-361.
11. Jaime, L., Fernandez, A., Martin-Cabrejas, M., Lopez Andreu, F., and Esteban, R., 2002, "Structural Carbohydrates Differences and Potential Source of Dietary Fiber of Onion (*Allium cepa L.*) Tissues", *Journal of Agricultural and Food Chemistry*, Vol. 50, pp. 122-128.
12. Jongaroontaprangsee, S., Tritrong, W., Chokanaporn, W., Methacanon, P., Devahastin, S., and Chiewchan, N., 2007, "Effects of Drying Temperature and Particle Size on Hydration Properties of Dietary Fiber Powder from Lime and Cabbage By-products," *International Journal of Food Properties*, Vol. 81, pp. 318-329.
13. Miyake, Y., Yamamoto, K., Morimitsu, Y., and Osawa, T., 1997, "Isolation of C-Glucosylflavone from Lemon Peel and Antioxidative Activity of Flavonoid Compounds in Lemon Fruit," *Journal of Agricultural and Food Chemistry*, Vol. 45, pp. 4619-4623.
14. Bocco, A., Cuvelier, M.E., Richard, H., and Berset, C., 1998, "Antioxidant Activity and Phenolic Composition of Citrus Peel and Seed Extracts", *Journal of Agricultural and Food Chemistry*, Vol. 46, pp. 2123-2129.
15. Guo, C., Yang, J., Wei, J., Li, Y., Xu, and Jiang, Y., 2003, "Antioxidant Activities of Peel, Pulp and Seed Fractions of Common Fruits as Determined by FRAP Assay", *Nutrition Research*, Vol. 23, pp. 1719-1726.
16. Cadden, A.M., 1987, "Comparative Effects of Particle Size Reduction on Physical Structure and Water Binding Properties of Several Plant Fibers", *Journal of Food Science*, Vol. 52, pp. 1595-1631.
17. Kethireddipalli, P., Hung, Y.C., Phillips, R.O., and McWatters, K. H., 2002, "Evaluating the Role of Cell Material and Soluble Protein in the Functionality of Cowpea (*Vigna unguiculata*) Pastes", *Journal of Food Science*, Vol. 67, pp. 53-59.
18. Figuerando, F., Hurtado, M.L., Estévez, Chiffelle, I., and Asenjo, F., 2005, "Fiber Concentrates from Apple Pomace and Citrus Peel as Potential Fiber Sources for Food Enrichment", *Journal of Food Engineering*, Vol. 91, pp. 395-401.
19. Fernández-Ginés, J.M., Fernández-López, J., Sayas-Barberá, E., Sendra, E., and Pérez- Álvarez, J.A., 2004, "Lemon Albedo as a New Source of Dietary Fiber: Application to Bologna Sausages," *Meat Science*, Vol. 67, No. 1, pp. 7-13.
20. Wang, J., Rosell, C.M., and Barber, C.B., 2002, "Effect of Addition of Different Fibers on Wheat Dough Performance and Bread Quality", *Food Chemistry*, Vol. 79, pp. 221-226.
21. Grigelmo-Miguel, N., Gorinstein, S., and Martín-Belloso, O., 1999, "Characterization of Peach Dietary Fiber Concentrate as a Food Ingredient", *Food Chemistry*, Vol. 65, No. 2, pp. 175-181.
22. Vitali, A.A. and Rao, M.A., 1984, "Flow

- Properties of Low-Pulp Concentrated Orange Juice: Serum Viscosity and Effect of Pulp Content”, *Journal of Food Science*, Vol. 49, No. 3, pp. 876-887.
23. Tanglertpaibul, T. and Rao, M.A., 1987, “Rheological Properties of Tomato Concentrations as Affected by Particle Size and Methods of Concentration”, *Journal of Food Science*, Vol. 52, No. 1, pp. 141-145.
24. Sánchez, M.C., Valencia, C., Ciruelos, A., Latorre, A., and Gallegos, C., 2003, “Rheological Properties of Tomato Paste: Influence of the Addition of Tomato Slurry”, *Journal of Food Science*, Vol. 68, No. 2, pp. 551-554.
25. Grigelmo-Miguel, N. and Martín-Belloso, O., 1999, “Influence of Fruit Dietary Fiber Addition on Physical and Sensorial Properties of Strawberry Jams”, *Journal of Food Engineering*, Vol. 41, No. 1, pp. 13-21.
26. Gorinstein, S., Zemser, M., Haruenkit, R., Chuthakorn, R., Grauer, F., Matin-Belloso, O., and Trakhtenberg, S., 1999, “Comparative Content of Total Polyphenols and Dietary Fiber in Tropical Fruits and Persimmon”, *Journal of Nutrition and Biochemistry*, Vol.10, No. 6, pp. 367-371.
27. Sun, J., Chu, Y.F., Wu, X., and Liu, R.H., 2002, “Antioxidant and Antiproliferative Activities of Common Fruits”, *Journal of Agricultural and Food Chemistry*, Vol. 50, pp. 7446-7454.
28. Association of Official Analytical Chemists (AOAC), 2000, Official Methods of Analysis, 17<sup>th</sup> ed., Association of Official Agricultural Chemists, Virginia.
29. Cameron, R.G., Baker, R.A. and Grohmann, K., 1997, “Citrus Tissue Extracts Affect Juice Cloud Stability”, *Journal of Food Science*, Vol. 62, No. 2, pp. 242-245.
30. Bhattacharya, S., Bhat, K.K., and Raghubeer, K.G., 1992, “Rheology of Bangal Gram (*cicer arietinum*) Flour Suspensions,” *Journal of Food Engineering*, Vol. 17, pp. 83-96.
31. Oomah, B.D., Séry, G., Godfrey, D.V., and Beveridge, T.H.J., 1999, “Rheology of Sea Buckthorn (*Hippophae rhamnoides* L.) Juice”, *Journal of Agricultural and Food Chemistry*, Vol. 47, pp. 3546-3550.
32. Espachs-Barroso, A., Soliva-Fortuny, R.C., and Martín-Belloso, O., 2005, “A Natural Clouding Agent from Orange Peels Obtained Using Polygalacturonase and Cellulase”, *Food Chemistry*, Vol. 92, pp. 55-61.
33. Cámará, M., Díez, C., and Torija, E., 1995, “Chemical Characterisation of Pineapple Juices and Nectars: Principal Components Analysis”, *Food Chemistry*, Vol. 54, pp. 93-100.
34. Jiraratananon , R., Uttapap, D., and Tangamornsuksan, C., 1997, “Self-forming Dynamic Membrane for Ultrafiltration of Pineapple Juice”, *Journal of Membrane Science*, Vol. 129, pp. 135-143.
35. Ittimongkol, B., Srisukh, V., Tungrugsasut, W., Sukkhow, B., Chinganjanarod, P., and Jaichareon, P., 2002, “Instant Dietary Fiber-Supplemented Beverage Mixes from Papaya”, *Thai Journal of Phytopharmacy*, Vol. 9, pp. 13-21.
36. Dello Staffolo, M., Bertola, N., Martino, M., and Bevilacqua, A., 2004, “Influence of Dietary Fiber Addition on Sensory and Rheological Properties of Yogurt”, *International of Dietary Journal*, Vol. 14, pp. 263-268.